

# Markteknisk undersökningsrapport

Halvorstorp 1:7 & 1:95



**Uppdrag:** Halvorstorp 1:7 & 1:95  
**Uppdragsnummer:** 30037910  
**Kund:** Peab Bostad AB  
**Datum:** 2022-05-25  
**Dokumentreferens:** HB  
\\sevanfs001\projekt\21312\30037910\_halvorst  
orp\_1\_7\_&\_1\_95\000\07\_arbetsmaterial\_dok\g  
eoteknik\16\_text\markteknisk  
undersökningsrapport, mur geoteknik.docx

# Innehållsförteckning

|      |   |    |
|------|---|----|
| 1    | Objekt .....                                | 5  |
| 2    | Ändamål och skede .....                     | 5  |
| 3    | Underlag för undersökningen .....           | 5  |
| 3.1  | Tidigare utförda undersökningar .....       | 5  |
| 4    | Styrande dokument .....                     | 6  |
| 5    | Geoteknisk kategori .....                   | 7  |
| 6    | Befintliga förhållanden .....               | 7  |
| 6.1  | Topografi & ytbeskaffenhet .....            | 7  |
| 6.2  | Vattenavrinning och dränering .....         | 7  |
| 6.3  | Befintliga konstruktioner .....             | 7  |
| 7    | Positionering .....                         | 8  |
| 8    | Geotekniska fältundersökningar .....        | 8  |
| 8.1  | Utförda fältförsök .....                    | 8  |
| 8.2  | Utförda provtagningar .....                 | 9  |
| 8.3  | Undersökningsperiod .....                   | 9  |
| 8.4  | Fältingenjörer .....                        | 9  |
| 8.5  | Kalibrering och certifiering .....          | 9  |
| 8.6  | Provhantering .....                         | 9  |
| 8.7  | Övrigt .....                                | 9  |
| 9    | Geotekniska laboratorieundersökningar ..... | 10 |
| 9.1  | Utförda undersökningar .....                | 10 |
| 9.2  | Undersökningsperiod .....                   | 10 |
| 9.3  | Laboratorieingenjörer .....                 | 10 |
| 9.4  | Kalibrering och certifiering .....          | 10 |
| 10   | Hydrogeologiska undersökningar .....        | 10 |
| 10.1 | Utförda undersökningar .....                | 10 |
| 10.2 | Fältingenjörer .....                        | 11 |
| 11   | Härledda värden .....                       | 11 |
| 11.1 | Hållfasthetsegenskaper .....                | 11 |
| 11.2 | Indexegenskaper .....                       | 11 |
| 11.3 | Hydrogeologiska egenskaper .....            | 11 |
| 11.4 | Övriga egenskaper .....                     | 11 |

|      |  |    |
|------|--|----|
| 12   | Värdering av undersökning .....              | 11 |
| 12.1 | Generellt .....                              | 11 |
| 12.2 | Härledda värden spridning och relevans ..... | 11 |

#### **Bilagor**

##### *Beteckning*

|          |                              |
|----------|------------------------------|
| Bilaga 1 | Härledda värden              |
| Bilaga 2 | Fältprotokoll                |
| Bilaga 3 | Utvärderade CPT- sonderingar |
| Bilaga 4 | Laboratorieprotokoll         |

#### **Ritningar**

| <i>Beteckning</i> | <i>Typ</i>      | <i>Skala</i>     | <i>Datum</i> |
|-------------------|-----------------|------------------|--------------|
| 30037910-G1       | Plan            | 1:500            | 2022-05-25   |
| 30037910-G2       | Sektion A, B, C | H 1:100, L 1:400 | 2022-05-25   |
| 30037910-G3       | Sektion D, E    | H 1:100, L 1:400 | 2022-05-25   |

# 1 Objekt

På uppdrag av Peab Bostad AB har Sweco Sverige AB utfört en översiktlig geoteknisk undersökning som utgör underlag till detaljplan för bostadsbyggnation.

Området som detaljplanen omfattar är fastigheterna Halvorstorp 1:7 och 1:95 i Trollhättan, se Figur 1, där befintlig åkermark planeras att exploateras med flerfamiljshus.



Figur 1: Översiktlig bild över aktuellt område. Bildkälla: Google Earth 2022-03-23.

Föreliggande handling redovisar enbart utförda undersökningsresultat.

## 2 Ändamål och skede

Syftet med den geotekniska undersökningen för detaljplanen är att redogöra för de geotekniska förhållandena och hur de inverkar på planerad exploatering enligt detaljplanen.

## 3 Underlag för undersökningen

Följande underlag har använts för undersökningen:

- Primärkarta tillhandahållen 2022-02-14.
- SGU:s jordarts- och jorddjupskarta 2022-03-23.
- Illustration i dwg-format från Peab. Tillhandahållen 2022-04-27
- Tidigare utförda undersökningar enligt kapitel 3.1.

### 3.1 Tidigare utförda undersökningar

Undersökningar inom området som tidigare utförts:

- Utlåtande över grundförhållandena för planerad bebyggelse inom Halvorstorpsområdet. Trollhättans kommun. Allmänna ingenjörbyrå AB, 1975-01-29 (ärende.nr. 426–426 370).

## 4 Styrande dokument

Denna rapport ansluter till SS-EN 1997–1 och SS-EN 1997–2, med tillhörande nationell bilaga BFS 2013:10 – EKS 10, se Tabell 1- Tabell 5.

Tabell 1. Planering och redovisning

| <b>Undersökningsmetod</b> | <b>Standard eller annat styrande dokument</b>  |
|---------------------------|--|
| Fältplanering             | SS-EN 1997–2   |
| Fältutförande             | Geoteknisk fälthandbok SGF Rapport 1:2013 samt SS-EN-ISO 22475–1:2006, SS-EN-1997-1 och SS-EN 1997–2 |
| Beteckningssystem         | SGF/BGS beteckningssystem Version 2001:2 med kompletterande beteckningsblad 2016                     |

Tabell 2:Fältundersökningar – sondering, in-situ.

| <b>Undersökningsmetod</b>          | <b>Standard eller annat styrande dokument</b>                     |
|------------------------------------|---|
| Spetstrycksondering (CPT och CPTU) | SS-EN ISO 22476–1:2012 med tillägg SS-EN ISO 22476–1:2012/AC:2013 |
| Slagsondering (Slb)                | SGF Metodblad 2006-10-01  |
| Trycksondering (Tr)                | SGF Metodblad 2009-01-27  |

Tabell 3: Fältundersökningar - provtagning.

| <b>Undersökningsmetod</b>             | <b>Standard eller annat styrande dokument</b> |
|---------------------------------------|---|
| Störd provtagning med skruvborr (Skr) | SS-EN ISO 22475–1:2006.                       |

Tabell 4: Laboratorieundersökningar.

| <b>Undersökningsmetod</b> | <b>Standard eller annat styrande dokument</b>  |
|---------------------------|--|
| Okulär jordartsklassning  | SS-EN ISO 14688–1:2018 och 14688–2:2018  |
| Jordartsförkortning       | Beteckningsblad IEG 2011-05-08 (Bilaga C, IEG Rapport 13:2010)                           |
| Lab-undersökningar        | Uppgifter om standard eller andra styrande dokument återfinns hos aktuellt laboratorium. |

Tabell 5: Hydrogeologiska undersökningar.

| <b>Undersökningsmetod</b> | <b>Standard eller annat styrande dokument</b> |
|---------------------------|---|
| Grundvattenrör (Rf/Rö)    | SS-EN-ISO 22475–1:2006                        |

## 5 Geoteknisk kategori

Undersökningar har utförts i omfattning och typ med förutsättning att de geotekniska förutsättningarna för objektet och tillhörande arbeten omfattas av geoteknisk kategori 2 (GK2).

## 6 Befintliga förhållanden

### 6.1 Topografi & ytbeskaffenhet

Aktuellt område utgörs idag till stora delar av öppen mark så som ängsmark men också skogsmark. Markytan är relativt plan och nivåerna vid nu utförda undersökningar varierar mellan ca +47,9 och +49,5.

Synligt berg i dagen har grovt karterats och illustreras på ritning G1.

Enligt SGU:s jordartskarta utgörs de översta jordlagren i området av glacial lera, sandmorän och morän, se Figur 2.



Figur 2: Urklipp från SGU:s jordartskarta. Bilden är hämtad från SGU:S karttjänst 2022-03-23.

### 6.2 Vattenavrinning och dränering

Se separat rapport, *VSD- utredning inför detaljplan för Halvorstorp 1:7 och 1:95*, med samma uppdragsnummer som denna handling.

### 6.3 Befintliga konstruktioner

Inom området i öster förekommer ett bostadshus och en större komplementbyggnad, i övrigt utgörs området generellt av åkermark. Längs med södra delen av området går Flädervägen som ansluter till Lunnevägen i öster. Söder, öster och norr om aktuellt område ligger villakvarter.

Inom området, längs med Flädervägen och Lunnevägen och i anslutning till befintliga byggnader, finns idag markförlagda och luftburna ledningar och kablar.

I väster ansluter området till ett naturreservat med slättberg.

Inom området, i väster, finns en fornlämning i form av en skål i berget.

## 7 Positionering

Utsättning/Inmätning av undersökningspunkterna har utförts med GPS av fältgeotekniker Niklas Johansson och Joakim Larsson, Sweco Sverige AB.

Utsättningen och inmätningen är utförd i följande koordinatsystem:

- Koordinatsystem i plan: SWEREF 99 12 00
- Höjdsystem: RH2000

Koordinater (x, y, z) är sammanställda och redovisas i Bilaga 2.

Undersökningspunkt SW2211 mättes aldrig in på grund av signalproblem. Undersökningspunktens verkliga läge har antagits vara samma som utsättningsläget i x-y led. I z- led har nivån antagits från grundkarta och övriga undersökningspunkter i området.

## 8 Geotekniska fältundersökningar

### 8.1 Utförda fältförsök

Omfattningen av aktuella fältförsök inom ramen för detta projekt redovisas i Tabell 6. Fältundersökningarna har fördelats på 18 undersökningspunkter.

Tabell 6: Antalet utförda fältförsök med respektive metod.

| Fältundersökning | Antal |
|------------------|-------|
| Sib              | 3     |
| Tr               | 15    |
| CPT              | 1     |

Utförda fältförsök redovisas i fältprotokoll, se Bilaga 2 samt på tillhörande plan- och sektionsritningar, G1-G3.

Sonderingarna är utförda med geoteknisk borrhandsvagn Geotech 504.

Samtliga sonderingar är utförda till stopp.

CPT- sondering utfördes ej i undersökningspunkt SW2201, SW2203, SW2205 SW2212 och SW2217 på grund av att jorddjupen till berg var för grunda och mäktigheterna av de lösa jordlagren för små.

Planerad vingsondering i undersökningspunkterna SW2203 och SW2209 utfördes ej. I SW2203 var det för grunda jorddjup till berg och för små mäktigheter av lösa jordlager och i SW2209 var jorden för hård.

## 8.2 Utförda provtagningar

Omfattningen av aktuella provtagningar inom ramen för detta projekt redovisas i Tabell 7.

Tabell 7: Antalet utförda provtagningar.

| Provtagning | Antal |
|-------------|-------|
| Skr         | 12    |

Utförda provtagningar redovisas i fältprotokoll, se Bilaga 2 samt på tillhörande plan- och sektionsritningar, G1-G3.

Sonderingarna är utförda med geoteknisk borrhandsvagn Geotech 504.

Planerad kolvprovtagning i undersökningsspunkt SW2203 utfördes ej på grund av för grunda jorddjup till berg och för små mäktigheter av lösa jordlager.

I undersökningsspunkt SW2217 har stopp erhållits vid skruvprovtagning genom nedslagning.

Fri vattenyta har noterats i provtagningshål, som en indikation på grundvattentytans läge vid undersökningstillfället. Vattentytan varierade då mellan ca 0 och ca 1,9 m under markytan.

Vid den geotekniska fältundersökningen utfördes även miljöteknisk skruvprovtagning vilken redovisas i separat handling *PM, Översiktlig miljöteknisk markundersökning* med samma uppdragsnummer som denna handling.

## 8.3 Undersökningsperiod

Sonderingar och provtagningar utfördes under vecka 8 i februari 2022. Vid delar av undersökningstillfället var området snötäckt.

## 8.4 Fältingenjörer

Fältarbete har utförts av Niklas Johansson och Joakim Larsson, fältingenjörer på Sweco Sverige AB.

## 8.5 Kalibrering och certifiering

Dokumentation på utförd kalibrering ges i separat fältprotokoll, se Bilaga 2.

## 8.6 Provhantering

Upptagna jordprover har klassificerats okulärt i fält direkt vid provtagningen enligt SS-EN-ISO 14688-1. Ett provtagningsprotokoll har upprättats av ansvarig fältingenjör för varje provtagningspunkt. Utvalda prover har skickats till ALS Geolab i Stockholm, för säkrare klassificering. Resultat presenteras i Bilaga 4.

Upptagna skruvprover har förvarats i plastpåsar som förts till laboratorium.

## 8.7 Övrigt

Utförda undersökningar är benämnda SW22XX, där 22 står för årtal och XX är en löpande numrering. Undersökningsspunkterna är inlagda i en databas (GeoSuite).

## 9 Geotekniska laboratorieundersökningar

### 9.1 Utförda undersökningar

Omfattningen av utförda analyser inom ramen för detta projekt redovisas i Tabell 8.

Tabell 8: Antalet utförda laboratorieundersökningar med respektive metod.

| Analys            | Antal |
|-------------------|-------|
| Jordartsbenämning | 14    |
| Vattenkvot        | 10    |
| Konflytgräns      | 8     |

Även bedömning av tjälfarlighetsklass är utförd.

Utförda analyser redovisas i laboratorieprotokoll, se Bilaga 4.

### 9.2 Undersökningsperiod

Alla diagram och tabeller är daterade, där det framgår när proverna analyserades och testades.

### 9.3 Laboratorieingenjörer

Handläggare redovisas i tabell i Bilaga 4.

### 9.4 Kalibrering och certifiering

Geotekniska laboratorieanalyser är utförda av ALS Geolab, som är kvalitets- och miljöcertifierade enligt ISO 9001 och ISO 14001.

Kalibreringsprotokoll för laboratorieutrustning finns på ALS Geolab.

Skruvproverna sparas efter utförd undersökning i fyra månader i rumstemperatur.

## 10 Hydrogeologiska undersökningar

### 10.1 Utförda undersökningar

Omfattningen av utförd hydrogeologisk installation inom ramen för detta projekt redovisas i Tabell 9.

Tabell 9: Antalet utförda hydrogeologiska installationer.

| Installationer | Antal |
|----------------|-------|
| Grundvattenrör | 1     |

Grundvattenröret har avlästs tre gånger under mars och april 2022. Mätresultat redovisas i fältprotokoll, se Bilaga 2 samt på tillhörande plan- och sektionsritningar G1-G3.

## 10.2 Fältingenjörer

Installation av grundvattenrör har utförts av fältgeotekniker Niklas Johansson och Joakim Larsson på Sweco Sverige AB. Avläsning av grundvattenrör har utförts av Joakim Larsson, Sweco Sverige AB.

## 11 Härledda värden

I följande kapitel redovisas jordens egenskaper.

### 11.1 Hållfasthetsegenskaper

I Bilaga 1 redovisas härledda värden för odränerad skjuvhållfasthet baserat på utvärderad CPT- sondering. Värdena har korrigerats med avseende på konflytgräns. I Bilaga 3 redovisas Conrad-utvärdering av utförd CPT- sondering.

### 11.2 Indexegenskaper

En sammanställning av jordens egenskaper utvärderade från störda jordprover redovisas i Bilaga 1.

### 11.3 Hydrogeologiska egenskaper

Uppmätta grundvattennivåer i SW2201 varierar mellan ca +48,2 och +48,4 vilket motsvarar ca 0,6-0,8 m under markytan, se Bilaga 2 för sammanställning i graf.

### 11.4 Övriga egenskaper

## 12 Värdering av undersökning

### 12.1 Generellt

Om kännedom om områden med berg i dagen är av värde vid den fortsatta projekteringen bör ytterligare kartering göras.

Grundvattennivåerna ska förväntas variera med årstid och nederbördsförhållanden.

### 12.2 Härledda värden spridning och relevans

På grund av avsaknad av tillräckliga jorddjup med lösa jordar på sina håll inom området finns bara sammanställda data för skjuvhållfasthet från en undersökningspunkt.

Anna de Bourgh  
*Handläggare*

Hanna Blomén  
*Teknikansvarig/Granskare*

# BILAGA 1



UPPDRAG  
Halvorstorp 1:7 & 1:95

DOKUMENT  
MUR-Geoteknik

BILAGA  
Härledda värden

UPPDRAGSNUMMER  
30037910

2022-03-23

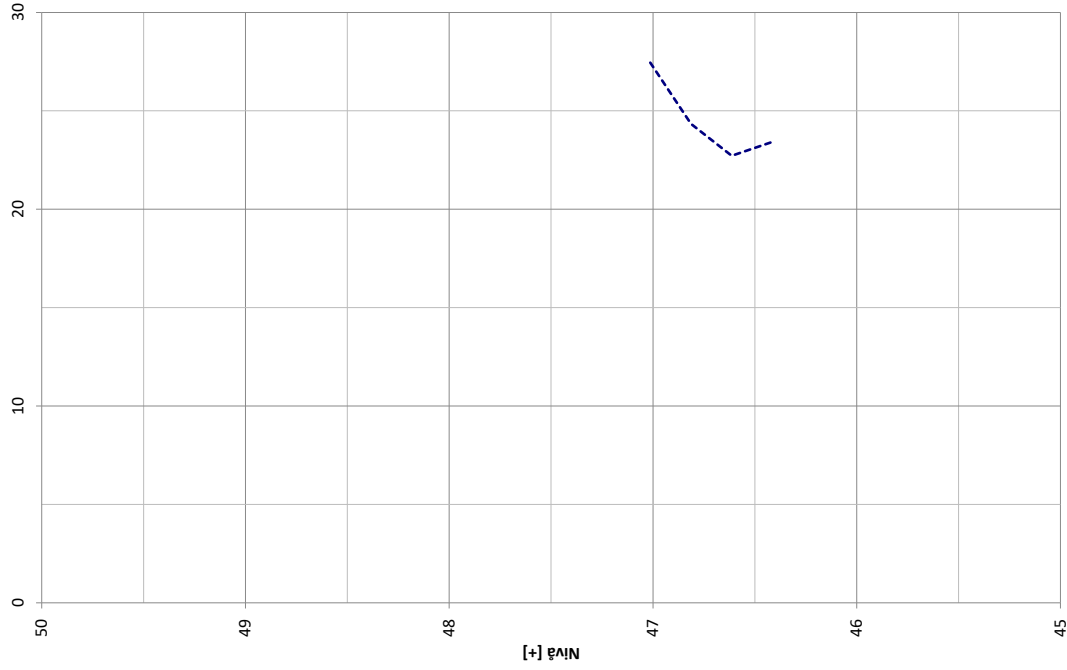
# Halvorstorp 1:7 & 1:95

Uppdragsnummer: 30037910

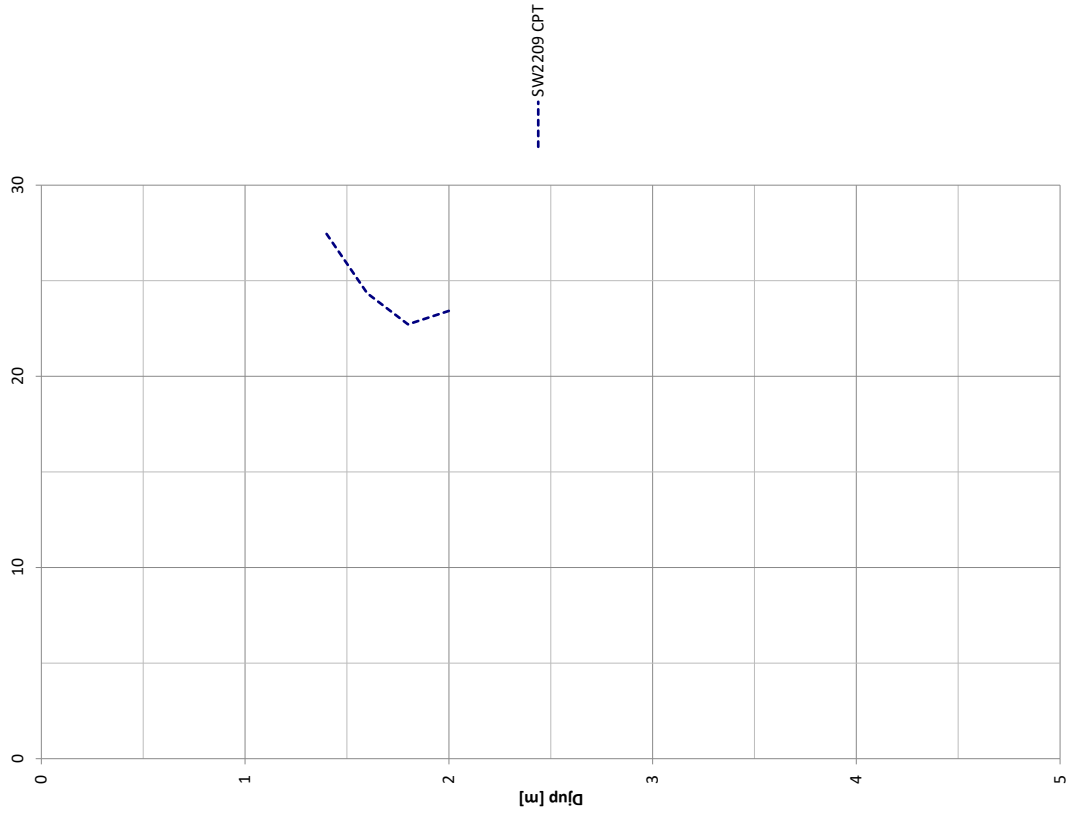
Delområde



## Odränerad skjuvhållfasthet, $c_u$ (kPa)



## Odränerad skjuvhållfasthet, $c_u$ (kPa)



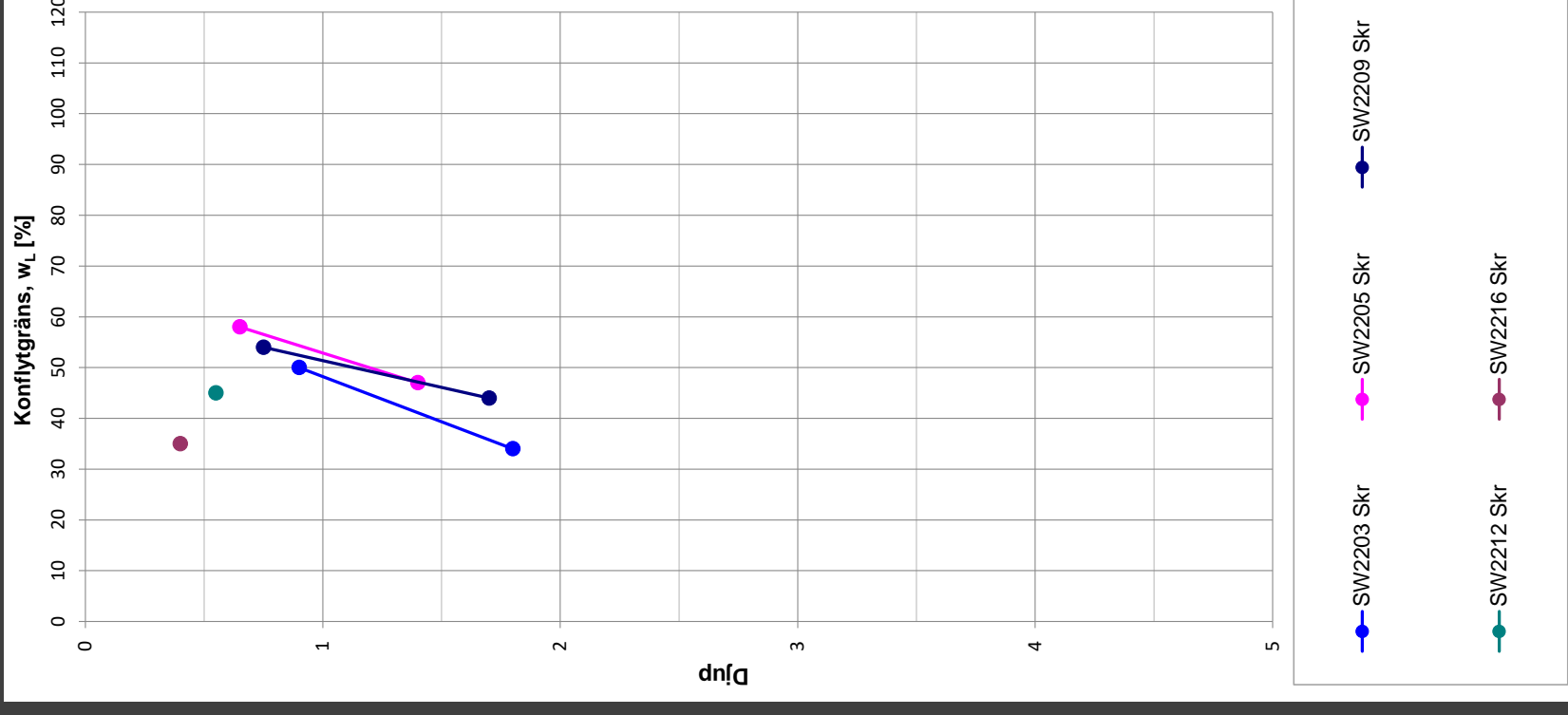
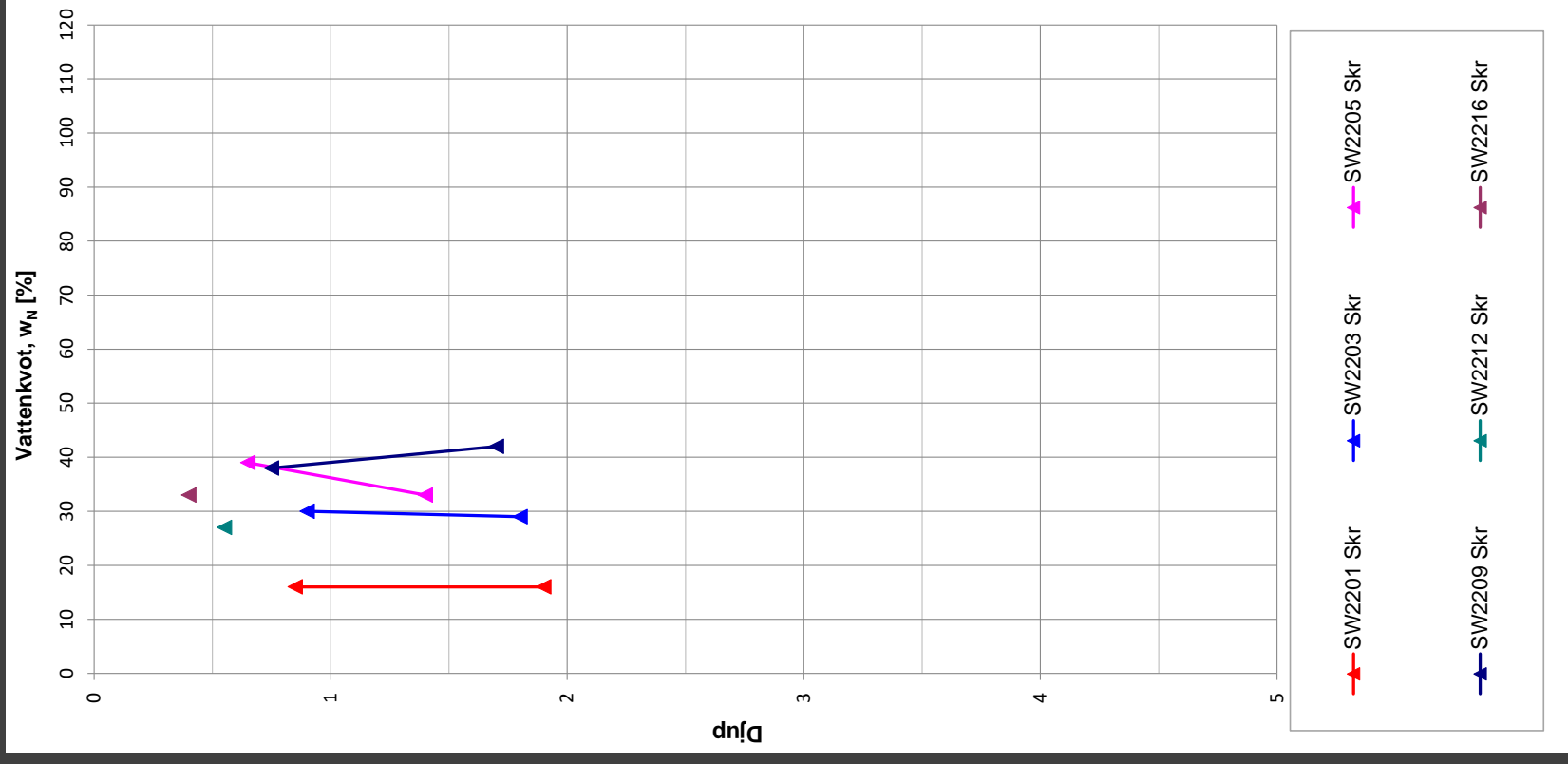
# Halvorstorp 1:7 & 1:95

2022-03-23

Uppdragsnummer: 30037910

DENSITET, SENSITIVITET, VATTENKVOT, KONFLYTGÄNS

DELOMRÅDE



|                                     |                            |
|-------------------------------------|----------------------------|
| UPPDRAG<br>Halvorstorp 1:7 & 1:95   | DOKUMENT<br>MUR-Geoteknik  |
| BILAGA<br>Fältprotokoll - Geoteknik | UPPDRAGSNUMMER<br>30037910 |

## INNEHÅLL

- Fältdagbok
- Protokoll – störd provtagning
- Grundvattenmätning
- Kalibreringsprotokoll
- Koordinatlista





































# CALIBRATION CERTIFICATE FOR CPT PROBE 4640

Probe No 4640  
 Date of Calibration 2021-03-25  
 Calibrated by Alexander Dahlin.....  
 Run No 1645  
 Test Class: ISO 1

## Point Resistance Tip Area 10cm<sup>2</sup>

Maximum Load 25 MPa  
 Range 25 MPa  
 Scaling Factor **3354**  
 Resolution 0,2275 kPa  
 Area factor (a) 0,865

### ERRORS

Max. Temperature effect when not loaded 23,188 kPa  
 Temperature range 5 –40 deg. Celsius.

## Local Friction Sleeve Area 150cm<sup>2</sup>

Maximum Load 0,5 MPa  
 Range 0,5 MPa  
 Scaling Factor **3891**  
 Resolution 0,0098 kPa  
 Area factor (b) 0

### ERRORS

Max. Temperature effect when not loaded 0,627 kPa  
 Temperature range 5 –40 deg. Celsius.

## Pore Pressure

Maximum Load 2 MPa  
 Range 2 MPa  
 Scaling Factor **3515**  
 Resolution 0,0217 kPa

### ERRORS

Max. Temperature effect when not loaded 1,149 kPa  
 Temperature range 5 –40 deg. Celsius.

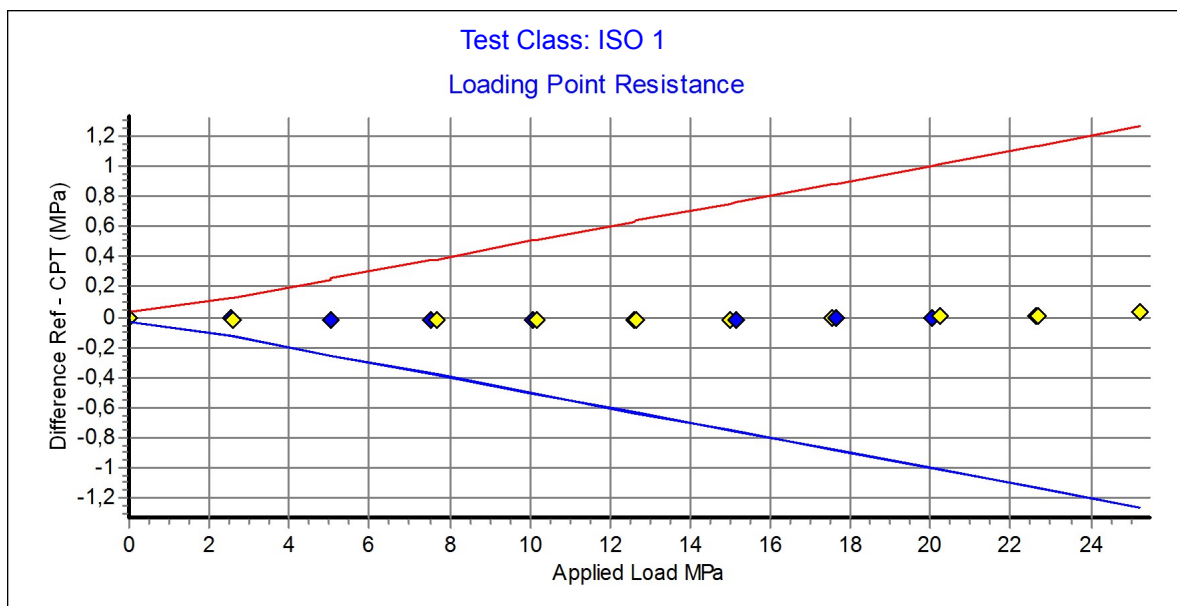
## Tilt Angle. Scaling Factor: 0,92

Range 0 - 40 Deg.

## Backup memory

Probe No: **4640**  
 Date of Calibration: **2021-03-25**  
 Calibration Run No: **1645**  
 Calibrated by: **Alexander Dahlin**  
**Scaling Factor: 3354**  
 Reference Cell: 75672

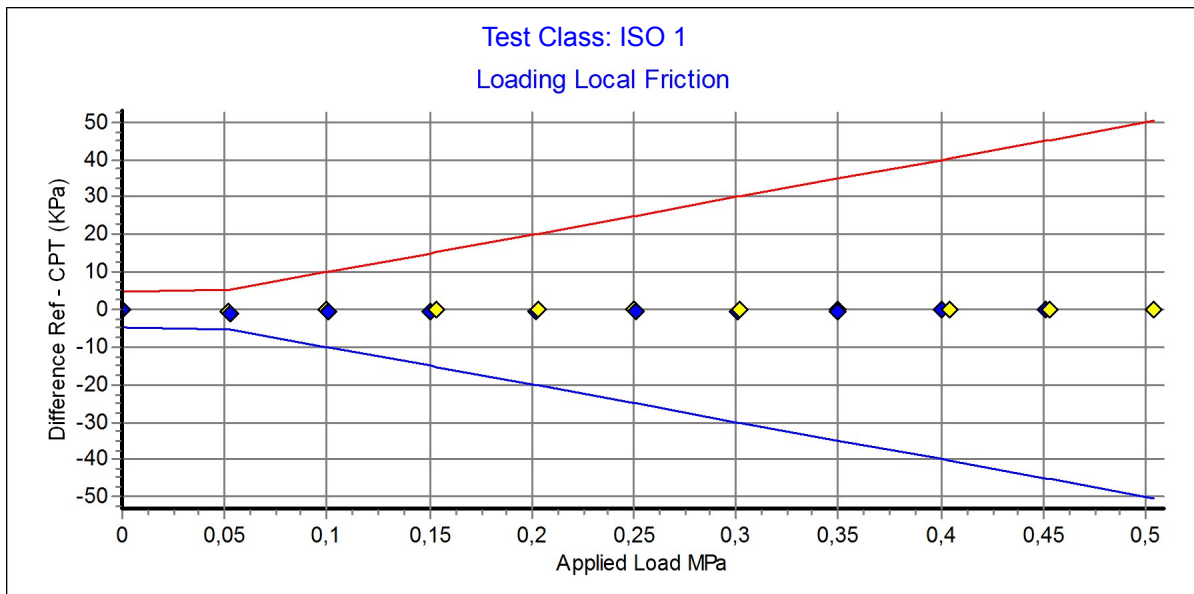
| Applied Load MPa | PointRes. MPa | Difference MPa | Accuracy %/MV | Friction MPa | PorePress MPa |
|------------------|---------------|----------------|---------------|--------------|---------------|
| 0,000            | 0,000         | 0,000          | 0,000         | 0,000        | 0,000         |
| 2,600            | 2,614         | -0,014         | -0,538        | 0,000        | 0,000         |
| 5,023            | 5,037         | -0,014         | -0,278        | 0,000        | 0,000         |
| 7,654            | 7,669         | -0,015         | -0,196        | 0,000        | 0,000         |
| 10,156           | 10,173        | -0,017         | -0,167        | 0,000        | 0,000         |
| 12,680           | 12,697        | -0,017         | -0,134        | 0,000        | 0,000         |
| 15,021           | 15,036        | -0,015         | -0,099        | 0,000        | 0,000         |
| 17,554           | 17,563        | -0,009         | -0,051        | 0,000        | 0,000         |
| 20,224           | 20,220        | 0,004          | 0,019         | 0,000        | 0,000         |
| 22,687           | 22,674        | 0,013          | 0,057         | 0,000        | 0,000         |
| 25,217           | 25,187        | 0,030          | 0,119         | 0,000        | 0,000         |
| 22,650           | 22,637        | 0,013          | 0,057         | 0,000        | 0,000         |
| 20,047           | 20,052        | -0,005         | -0,024        | 0,000        | 0,000         |
| 17,642           | 17,653        | -0,011         | -0,062        | 0,000        | 0,000         |
| 15,167           | 15,183        | -0,016         | -0,105        | 0,000        | 0,000         |
| 12,610           | 12,631        | -0,021         | -0,166        | 0,000        | 0,000         |
| 10,058           | 10,078        | -0,020         | -0,198        | 0,000        | 0,000         |
| 7,519            | 7,535         | -0,016         | -0,212        | 0,000        | 0,000         |
| 5,044            | 5,058         | -0,014         | -0,277        | 0,000        | 0,000         |
| 2,563            | 2,573         | -0,010         | -0,390        | 0,000        | 0,000         |
| -0,003           | -0,005        | 0,002          | 0,000         | 0,000        | 0,000         |



Specialists in Geotechnical Field Equipment

Probe No: **4640**  
 Date of Calibration: **2021-03-25**  
 Calibration Run No: **1645**  
 Calibrated by: **Alexander Dahlin**  
**Scaling Factor: 3891**  
 Reference Cell: **76360**

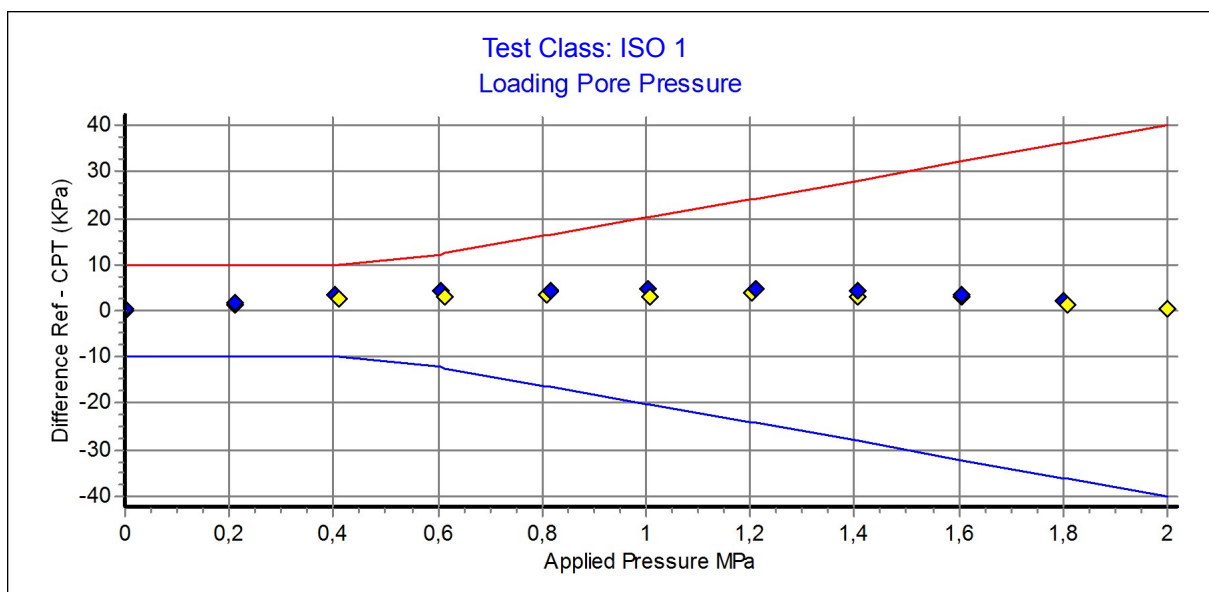
| Ref MPa | Friction MPa | Difference KPa | Accuracy %/MV | PointRes. MPa | PorePress MPa |
|---------|--------------|----------------|---------------|---------------|---------------|
| 0,000   | 0,000        | 0,000          | 0,000         | 0,000         | 0,000         |
| 0,052   | 0,053        | -0,470         | 0,000         | 0,004         | 0,000         |
| 0,100   | 0,100        | -0,150         | 0,000         | 0,005         | 0,000         |
| 0,153   | 0,153        | -0,082         | 0,000         | 0,006         | 0,000         |
| 0,203   | 0,203        | -0,007         | -0,003        | 0,006         | 0,000         |
| 0,250   | 0,250        | 0,010          | 0,004         | 0,006         | 0,000         |
| 0,302   | 0,302        | 0,065          | 0,021         | 0,007         | 0,000         |
| 0,350   | 0,350        | 0,086          | 0,024         | 0,007         | 0,000         |
| 0,404   | 0,404        | 0,114          | 0,028         | 0,007         | 0,000         |
| 0,453   | 0,453        | 0,033          | 0,007         | 0,007         | 0,000         |
| 0,504   | 0,503        | 0,106          | 0,021         | 0,009         | 0,000         |
| 0,451   | 0,451        | -0,082         | -0,018        | 0,008         | 0,000         |
| 0,400   | 0,400        | -0,157         | -0,039        | 0,006         | 0,000         |
| 0,350   | 0,350        | -0,321         | -0,091        | 0,005         | 0,000         |
| 0,301   | 0,301        | -0,352         | -0,117        | 0,005         | 0,000         |
| 0,251   | 0,251        | -0,447         | -0,177        | 0,004         | 0,000         |
| 0,202   | 0,203        | -0,607         | -0,298        | 0,004         | 0,000         |
| 0,150   | 0,151        | -0,665         | 0,000         | 0,003         | 0,000         |
| 0,101   | 0,102        | -0,783         | 0,000         | 0,003         | 0,000         |
| 0,053   | 0,054        | -0,849         | 0,000         | 0,003         | 0,000         |
| 0,000   | 0,000        | -0,171         | 0,000         | 0,000         | 0,000         |



Specialists in Geotechnical Field Equipment

Probe No: **4640**  
 Date of Calibration: **2021-03-25**  
 Calibration Run No: **1645**  
 Calibrated by: **Alexander Dahlin**  
**Scaling Factor: 3515**  
 Reference Cell: 44410026

| Appl. Press<br>MPa | PorePress<br>MPa | Difference<br>KPa | Accuracy<br>%/MV | PointRes.<br>MPa | Friction<br>MPa | Area Factor<br>A = PR/PP | Area Factor<br>B = LF/PP |
|--------------------|------------------|-------------------|------------------|------------------|-----------------|--------------------------|--------------------------|
| 0,000              | 0,000            | 0,100             | 0,000            | 0,000            | 0,000           |                          |                          |
| 0,209              | 0,207            | 1,339             | 0,644            | 0,174            | 0,000           | 0,840                    | 0,000                    |
| 0,411              | 0,409            | 2,508             | 0,613            | 0,350            | 0,000           | 0,855                    | 0,000                    |
| 0,613              | 0,610            | 2,963             | 0,485            | 0,526            | 0,000           | 0,862                    | 0,000                    |
| 0,809              | 0,806            | 3,236             | 0,401            | 0,696            | 0,000           | 0,863                    | 0,000                    |
| 1,008              | 1,005            | 3,134             | 0,311            | 0,870            | 0,000           | 0,865                    | 0,000                    |
| 1,204              | 1,200            | 4,007             | 0,333            | 1,038            | 0,000           | 0,865                    | 0,000                    |
| 1,405              | 1,402            | 3,085             | 0,220            | 1,211            | 0,000           | 0,863                    | 0,000                    |
| 1,606              | 1,603            | 2,955             | 0,184            | 1,384            | 0,000           | 0,863                    | 0,000                    |
| 1,810              | 1,809            | 1,313             | 0,072            | 1,562            | 0,001           | 0,863                    | 0,000                    |
| 2,000              | 1,999            | 0,484             | 0,024            | 1,725            | 0,001           | 0,862                    | 0,000                    |
| 1,799              | 1,797            | 2,189             | 0,121            | 1,553            | 0,000           | 0,864                    | 0,000                    |
| 1,607              | 1,603            | 3,286             | 0,204            | 1,388            | 0,000           | 0,865                    | 0,000                    |
| 1,408              | 1,404            | 4,420             | 0,314            | 1,218            | 0,000           | 0,867                    | 0,000                    |
| 1,209              | 1,204            | 4,934             | 0,409            | 1,047            | 0,000           | 0,869                    | 0,000                    |
| 1,002              | 0,997            | 4,662             | 0,467            | 0,870            | 0,000           | 0,872                    | 0,000                    |
| 0,815              | 0,811            | 4,223             | 0,520            | 0,708            | 0,000           | 0,873                    | 0,000                    |
| 0,605              | 0,601            | 4,199             | 0,698            | 0,527            | 0,000           | 0,876                    | 0,000                    |
| 0,401              | 0,398            | 3,295             | 0,827            | 0,348            | 0,000           | 0,874                    | 0,000                    |
| 0,210              | 0,208            | 1,927             | 0,924            | 0,181            | 0,000           | 0,870                    | 0,000                    |
| 0,000              | 0,000            | 0,537             | 0,000            | 0,000            | 0,000           |                          |                          |



Specialists in  
Geotechnical  
Field Equipment

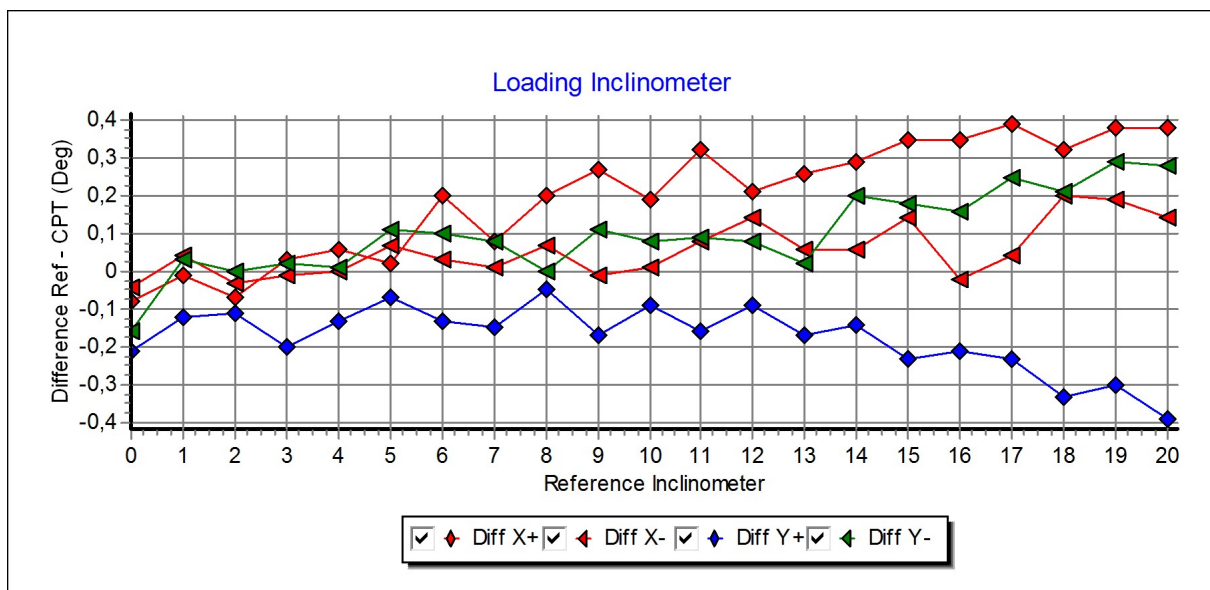
# Calibration Certificate.

# Loading Inclinometer

Göteborg:2021-03-25

Probe No: **4640**  
 Date of Calibration: **2021-03-25**  
 Calibration Run No: **1645**  
 Calibrated by: **Alexander Dahlin**  
**Scaling Factor: 0,92**

| Appl. Incin. Deg | X+ Deg | X- Deg | Y+ Deg | Y- Deg | Diff X+ Deg | Diff X- Deg | Diff Y+ Deg | Diff Y- Deg |
|------------------|--------|--------|--------|--------|-------------|-------------|-------------|-------------|
| 0,00             | 0,08   | 0,04   | 0,21   | 0,16   | -0,08       | -0,04       | -0,21       | -0,16       |
| 1,00             | 1,01   | 0,96   | 1,12   | 0,97   | -0,01       | 0,04        | -0,12       | 0,03        |
| 2,00             | 2,07   | 2,03   | 2,11   | 2,00   | -0,07       | -0,03       | -0,11       | 0,00        |
| 3,00             | 2,97   | 3,01   | 3,20   | 2,98   | 0,03        | -0,01       | -0,20       | 0,02        |
| 4,00             | 3,94   | 4,00   | 4,13   | 3,99   | 0,06        | 0,00        | -0,13       | 0,01        |
| 5,00             | 4,98   | 4,93   | 5,07   | 4,89   | 0,02        | 0,07        | -0,07       | 0,11        |
| 6,00             | 5,80   | 5,97   | 6,13   | 5,90   | 0,20        | 0,03        | -0,13       | 0,10        |
| 7,00             | 6,92   | 6,99   | 7,15   | 6,92   | 0,08        | 0,01        | -0,15       | 0,08        |
| 8,00             | 7,80   | 7,93   | 8,05   | 8,00   | 0,20        | 0,07        | -0,05       | 0,00        |
| 9,00             | 8,73   | 9,01   | 9,17   | 8,89   | 0,27        | -0,01       | -0,17       | 0,11        |
| 10,00            | 9,81   | 9,99   | 10,09  | 9,92   | 0,19        | 0,01        | -0,09       | 0,08        |
| 11,00            | 10,68  | 10,92  | 11,16  | 10,91  | 0,32        | 0,08        | -0,16       | 0,09        |
| 12,00            | 11,79  | 11,86  | 12,09  | 11,92  | 0,21        | 0,14        | -0,09       | 0,08        |
| 13,00            | 12,74  | 12,94  | 13,17  | 12,98  | 0,26        | 0,06        | -0,17       | 0,02        |
| 14,00            | 13,71  | 13,94  | 14,14  | 13,80  | 0,29        | 0,06        | -0,14       | 0,20        |
| 15,00            | 14,65  | 14,86  | 15,23  | 14,82  | 0,35        | 0,14        | -0,23       | 0,18        |
| 16,00            | 15,65  | 16,02  | 16,21  | 15,84  | 0,35        | -0,02       | -0,21       | 0,16        |
| 17,00            | 16,61  | 16,96  | 17,23  | 16,75  | 0,39        | 0,04        | -0,23       | 0,25        |
| 18,00            | 17,68  | 17,80  | 18,33  | 17,79  | 0,32        | 0,20        | -0,33       | 0,21        |
| 19,00            | 18,62  | 18,81  | 19,30  | 18,71  | 0,38        | 0,19        | -0,30       | 0,29        |
| 20,00            | 19,62  | 19,86  | 20,39  | 19,72  | 0,38        | 0,14        | -0,39       | 0,28        |

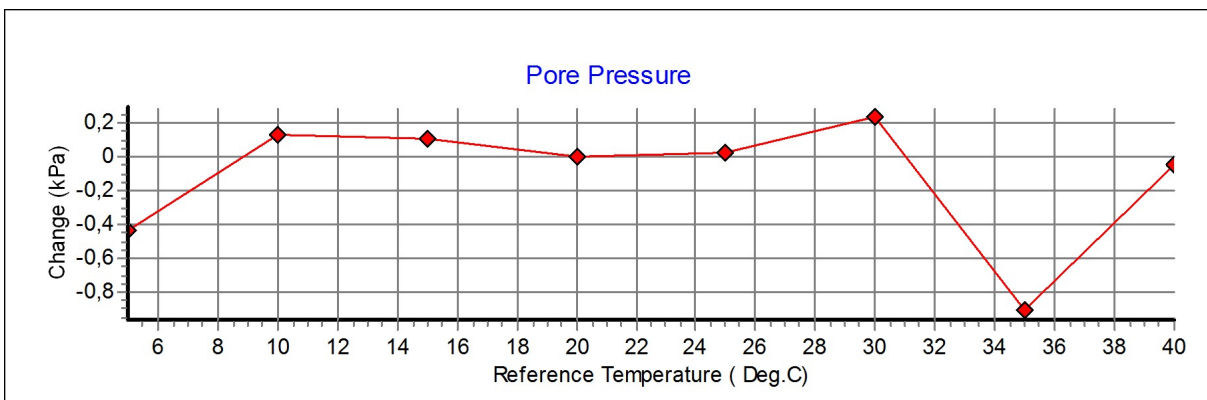
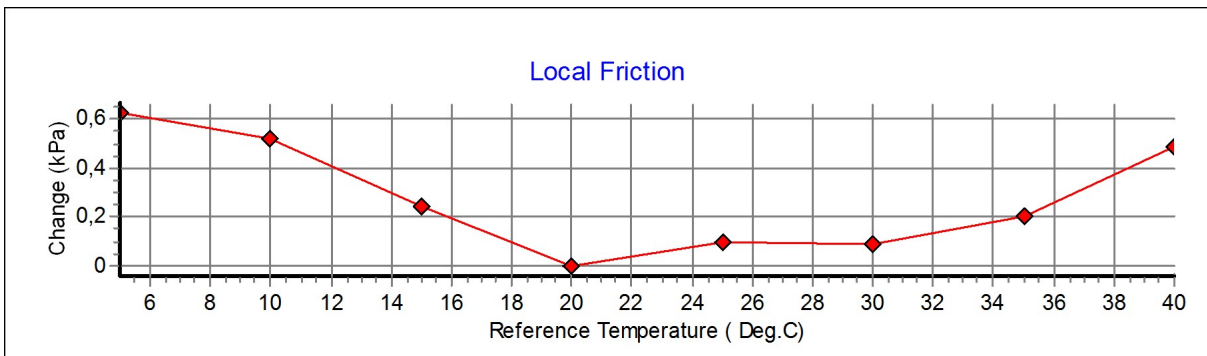
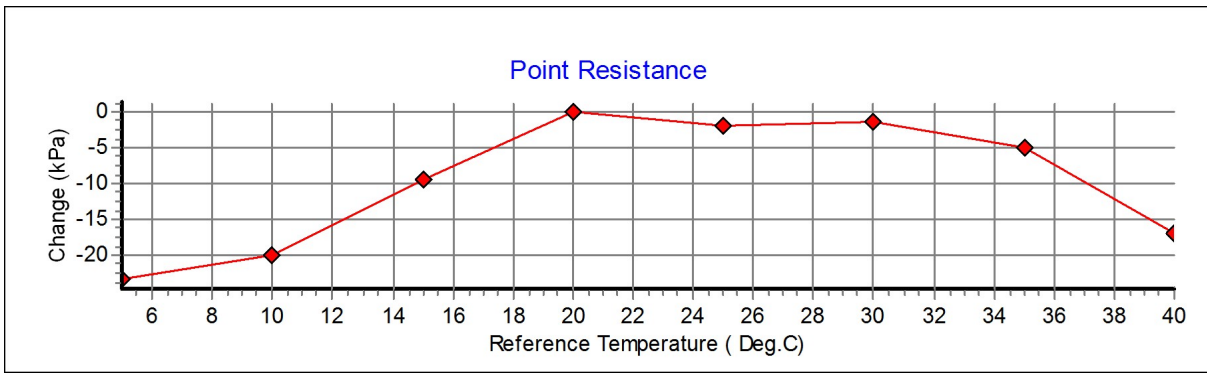


**Specialists in  
Geotechnical  
Field Equipment**

# Calibration of temperature effect when not loaded.

Göteborg:2021-03-25

Probe No: **4640**  
Date of Calibration: **2021-03-25**  
Calibration Run No: **1645**  
Calibrated by: **Alexander Dahlin**



Specialists in  
Geotechnical  
Field Equipment

# Calibration procedure.

Göteborg: 2021-03-25

Upon delivery, the equipment complies with ISO 22476-1:2012, including Technical Corrigendum 1 (ISO 22476-1:2012/Cor 1:2013)

## Point resistance.

The point resistance is calibrated from 0 to maximum range in 10 steps up and down. Then we adjust the calibration factor to fit the best linearity.

## Local friction.

A special adapter unit substitutes the cone and transfers the axial forces to the lower end of the friction sleeve. The friction is calibrated from 0 to maximum range in 10 steps up and down then the sleeve is turned 90 degrees and the calibration repeated. Then we adjust the calibration factor to fit the best linearity.

## Pore pressure & Area ratio a and b.

The completed probe is installed in a special chamber and the pore pressure sensor are calibrated from 0 to maximum range in 10 step up and down. Then we adjust the calibration factor to fit the best linearity. At half range the pressure of the point and friction is registered and used for calculation of the area factor.

## Tilt inclination.

The tilt sensor is calibrated +/- 20deg. from vertical line in steps of 1 deg. This will be done in 2 orthogonal directions.

## Temperature.

The temperature sensor are calibrated in steps of 5°C from 5 to 40 °C.

## Temperature compensation.

The Point, Friction and the Pore pressure sensors in the probe is temperature compensated and tested in the range 5 to 40 °C.

## Calibration reference equipment.

|           |                 |                              |
|-----------|-----------------|------------------------------|
| Reference | Load cell       | HBM C2/100kN FB088 no.N75672 |
| Reference | Load cell       | HBM C2/20kN FB088 no.N76360  |
| Reference | Pressure sensor | HBM P3MB 1MPa no.160410072   |
| Reference | Pressure sensor | HBM P3MB 2MPa no.44410026    |
| Reference | Pressure sensor | HBM P3MB 50MPa no.140510158  |

The reference sensors are connected to the Geotech black box together with the CPT probe. The measuring data from the reference sensors are simultaneously send to the computer and stored in the Geotech calibration software. The completed systems are recalibrated at RISE Research Institutes of Sweden once a year.

Environment.

Air pressure: 1017,1 hPa.

## Cptlog Cone data base information

Göteborg: 2021-03-25

|                     |                  |                             |                               |                         |                    |
|---------------------|------------------|-----------------------------|-------------------------------|-------------------------|--------------------|
| <b>Cone name</b>    | <b>4640</b>      | <b>Serial number</b>        | <b>4640</b>                   | <b>Date of purchase</b> | <b>User.</b>       |
| <b>Ranges</b>       |                  | <b>Geometric parameters</b> |                               | <b>Scaling factors</b>  |                    |
| Point resistance    | <b>25</b> (Mpa)  | Area factor a               | <b>0,865</b>                  | Point resistance        | <b>3354</b>        |
| Local friction      | <b>0,5</b> (Mpa) | Area factor b               | <b>0</b>                      | Local friction          | <b>3891</b>        |
| Pore pressure       | <b>2</b> (Mpa)   | Tip area                    | <b>10</b> (cm <sup>2</sup> )  | Pore pressure           | <b>3515</b>        |
| Tilt sensor         | <b>40</b> (Deg)  | Sleeve area                 | <b>150</b> (cm <sup>2</sup> ) | Tilt sensor             | <b>0,92</b>        |
| temperature         | ©                |                             |                               | temperature             | <b>1</b>           |
| Elect. Conductivity | (mS/m)           |                             |                               | Elect. Conductivity A   |                    |
|                     |                  |                             |                               | Elect. Conductivity B   |                    |
|                     |                  |                             |                               | <b>Type</b>             | <b>NOVA cone</b>   |
|                     |                  |                             |                               | <b>Memory option</b>    | <b>With memory</b> |

**KOORDINATLISTA XYZ**

2022-04-04

|          |              |             |         |
|----------|--------------|-------------|---------|
| SW2201   | 6463074.9775 | 169846.5461 | 48.7996 |
| SW2201GW | 6463081.9070 | 169847.6530 | 49.0200 |
| SW2202   | 6463066.9727 | 169798.6759 | 48.9172 |
| SW2203   | 6463056.7250 | 169752.1559 | 48.5610 |
| SW2204   | 6463049.5436 | 169712.1010 | 48.5465 |
| SW2205   | 6463042.6260 | 169660.9770 | 48.5300 |
| SW2206   | 6463035.7273 | 169629.9862 | 48.5626 |
| SW2207   | 6463110.5450 | 169779.8370 | 49.0990 |
| SW2208   | 6463104.2670 | 169738.8771 | 48.8829 |
| SW2209   | 6463095.4964 | 169686.9979 | 48.4131 |
| SW2210   | 6463088.7541 | 169636.7042 | 48.5605 |
| SW2211   | 6463170.3220 | 169816.5180 | 49.0000 |
| SW2212   | 6463153.4487 | 169782.2982 | 48.7605 |
| SW2213   | 6463147.0201 | 169731.5384 | 48.6075 |
| SW2214   | 6463133.8179 | 169679.8820 | 48.7824 |
| SW2215   | 6463188.1117 | 169760.0304 | 49.4776 |
| SW2216   | 6463171.5436 | 169674.2627 | 48.3923 |
| SW2217   | 6463201.3049 | 169657.1892 | 47.9217 |
| SW2218   | 6463047.5950 | 169681.5000 | 48.9850 |

Upprättad av Anna de Bourgh

# BILAGA 3



|  |                            |
|--|----------------------------|
| UPPDRAG<br>Halvorstorp 1:7 & 1:95      | DOKUMENT<br>MUR-Geoteknik  |
| BILAGA<br>Utvärderade CPT- sonderingar | UPPDRAGSNUMMER<br>30037910 |

# CPT - sondering

| <b>Projekt</b><br><b>Halvorstorp 1:7 &amp; 1:95</b><br><b>30037910</b>  |  | <b>Plats</b> <b>Halvorstorp, Trollhättan</b><br><b>Borrhål</b> <b>SW2209</b><br><b>Datum</b> <b>2022 02 23</b>   |                           |                             |          |   |            |  |   |          |      |          |           |         |      |      |                       |       |      |      |      |    |      |      |      |       |      |      |  |       |      |      |  |              |      |      |  |    |
|---|--|--|---------------------------|-----------------------------|----------|---|------------|--|---|----------|------|----------|-----------|---------|------|------|-----------------------|-------|------|------|------|----|------|------|------|-------|------|------|--|-------|------|------|--|--------------|------|------|--|----|
| Förborrningsdjup <b>0,50 m</b><br>Startdjup <b>0,50 m</b><br>Stoppdjup <b>2,22 m</b><br>Grundvattenyta <b>0,10 m</b><br>Referens <b>my</b><br>Nivå vid referens <b>48,40 m</b>  | Förborrat material <b>Mu, Let</b><br>Geometri <b>Normal</b><br>Vätska i filter <b>Olja</b><br>Operatör <b>Niklas Johnasson</b><br>Utrustning <b>Geotech</b><br><input checked="" type="checkbox"/> <b>Portryck registrerat vid sondering</b> |  |                           |                             |          |   |            |  |   |          |      |          |           |         |      |      |                       |       |      |      |      |    |      |      |      |       |      |      |  |       |      |      |  |              |      |      |  |    |
| <b>Kalibreringsdata</b><br>Spets <b>4640</b> Inre friktion $O_c$ <b>0,0 kPa</b><br>Datum <b>2021-03-25</b> Inre friktion $O_f$ <b>0,0 kPa</b><br>Areafaktor a <b>0,865</b> Cross talk $c_1$ <b>0,000</b><br>Areafaktor b <b>0,000</b> Cross talk $c_2$ <b>0,000</b> |  | <b>Nollvärden, kPa</b><br><table border="1"> <thead> <tr> <th></th> <th>Portryck</th> <th>Friktion</th> <th>Spetstryck</th> </tr> </thead> <tbody> <tr> <td>Före</td> <td>261,00</td> <td>124,00</td> <td>2,76</td> </tr> <tr> <td>Efter</td> <td>259,10</td> <td>123,80</td> <td>2,80</td> </tr> <tr> <td>Diff</td> <td>-1,90</td> <td>-0,20</td> <td>0,04</td> </tr> </tbody> </table> |                           |                             | Portryck | Friktion  | Spetstryck | Före   | 261,00  | 124,00   | 2,76 | Efter    | 259,10    | 123,80  | 2,80 | Diff | -1,90                 | -0,20 | 0,04 |      |      |    |      |      |      |       |      |      |  |       |      |      |  |              |      |      |  |    |
|   | Portryck   | Friktion   | Spetstryck                |                             |          |   |            |  |   |          |      |          |           |         |      |      |                       |       |      |      |      |    |      |      |      |       |      |      |  |       |      |      |  |              |      |      |  |    |
| Före  | 261,00   | 124,00   | 2,76                      |                             |          |   |            |  |   |          |      |          |           |         |      |      |                       |       |      |      |      |    |      |      |      |       |      |      |  |       |      |      |  |              |      |      |  |    |
| Efter   | 259,10   | 123,80   | 2,80                      |                             |          |   |            |  |   |          |      |          |           |         |      |      |                       |       |      |      |      |    |      |      |      |       |      |      |  |       |      |      |  |              |      |      |  |    |
| Diff  | -1,90  | -0,20  | 0,04                      |                             |          |   |            |  |   |          |      |          |           |         |      |      |                       |       |      |      |      |    |      |      |      |       |      |      |  |       |      |      |  |              |      |      |  |    |
| <b>Skalfaktorer</b><br><table border="1"> <thead> <tr> <th>Portryck<br/>Område Faktor</th> <th>Friktion<br/>Område Faktor</th> <th>Spetstryck<br/>Område Faktor</th> </tr> </thead> <tbody> <tr> <td> </td> <td> </td> <td> </td> </tr> </tbody> </table>           |  | Portryck<br>Område Faktor  | Friktion<br>Område Faktor | Spetstryck<br>Område Faktor |          |   |            | <b>Korrigerig</b><br>Portryck <b>(ingen)</b><br>Friktion <b>(ingen)</b><br>Spetstryck <b>(ingen)</b><br><br>Bedömd sonderingsklass |   |          |      |          |           |         |      |      |                       |       |      |      |      |    |      |      |      |       |      |      |  |       |      |      |  |              |      |      |  |    |
| Portryck<br>Område Faktor   | Friktion<br>Område Faktor  | Spetstryck<br>Område Faktor  |                           |                             |          |   |            |  |   |          |      |          |           |         |      |      |                       |       |      |      |      |    |      |      |      |       |      |      |  |       |      |      |  |              |      |      |  |    |
|   |  |  |                           |                             |          |   |            |  |   |          |      |          |           |         |      |      |                       |       |      |      |      |    |      |      |      |       |      |      |  |       |      |      |  |              |      |      |  |    |
| <input type="checkbox"/> <b>Använd skalfaktorer vid beräkning</b>   |  |  |                           |                             |          |   |            |  |   |          |      |          |           |         |      |      |                       |       |      |      |      |    |      |      |      |       |      |      |  |       |      |      |  |              |      |      |  |    |
| <b>Portrycksobservationer</b><br><table border="1"> <thead> <tr> <th>Djup (m)</th> <th>Portryck (kPa)</th> </tr> </thead> <tbody> <tr> <td>0,10</td> <td>0,00</td> </tr> </tbody> </table>  |  | Djup (m)   | Portryck (kPa)            | 0,10                        | 0,00     | <b>Skiktgränser</b><br><table border="1"> <thead> <tr> <th>Djup (m)</th> </tr> </thead> <tbody> <tr> <td> </td> </tr> </tbody> </table> | Djup (m)   |  | <b>Klassificering</b><br><table border="1"> <thead> <tr> <th colspan="2">Djup (m)</th> <th>Densitet</th> <th rowspan="2">Flytgräns</th> <th rowspan="2">Jordart</th> </tr> <tr> <th>Från</th> <th>Till</th> <th>(ton/m<sup>3</sup>)</th> </tr> </thead> <tbody> <tr> <td>0,00</td> <td>0,20</td> <td>1,60</td> <td rowspan="5">0,54</td> <td>Mu</td> </tr> <tr> <td>0,20</td> <td>0,50</td> <td>1,70</td> <td>Crust</td> </tr> <tr> <td>0,50</td> <td>1,30</td> <td> </td> <td>Crust</td> </tr> <tr> <td>1,30</td> <td>2,10</td> <td> </td> <td>(sa)Le(_sa_)</td> </tr> <tr> <td>2,10</td> <td>2,20</td> <td> </td> <td>Sa</td> </tr> </tbody> </table> | Djup (m) |      | Densitet | Flytgräns | Jordart | Från | Till | (ton/m <sup>3</sup> ) | 0,00  | 0,20 | 1,60 | 0,54 | Mu | 0,20 | 0,50 | 1,70 | Crust | 0,50 | 1,30 |  | Crust | 1,30 | 2,10 |  | (sa)Le(_sa_) | 2,10 | 2,20 |  | Sa |
| Djup (m)  | Portryck (kPa)   |  |                           |                             |          |   |            |  |   |          |      |          |           |         |      |      |                       |       |      |      |      |    |      |      |      |       |      |      |  |       |      |      |  |              |      |      |  |    |
| 0,10  | 0,00   |  |                           |                             |          |   |            |  |   |          |      |          |           |         |      |      |                       |       |      |      |      |    |      |      |      |       |      |      |  |       |      |      |  |              |      |      |  |    |
| Djup (m)  |  |  |                           |                             |          |   |            |  |   |          |      |          |           |         |      |      |                       |       |      |      |      |    |      |      |      |       |      |      |  |       |      |      |  |              |      |      |  |    |
|   |  |  |                           |                             |          |   |            |  |   |          |      |          |           |         |      |      |                       |       |      |      |      |    |      |      |      |       |      |      |  |       |      |      |  |              |      |      |  |    |
| Djup (m)  |  | Densitet   | Flytgräns                 | Jordart                     |          |   |            |  |   |          |      |          |           |         |      |      |                       |       |      |      |      |    |      |      |      |       |      |      |  |       |      |      |  |              |      |      |  |    |
| Från  | Till   | (ton/m <sup>3</sup> )  |                           |                             |          |   |            |  |   |          |      |          |           |         |      |      |                       |       |      |      |      |    |      |      |      |       |      |      |  |       |      |      |  |              |      |      |  |    |
| 0,00  | 0,20   | 1,60   | 0,54                      | Mu                          |          |   |            |  |   |          |      |          |           |         |      |      |                       |       |      |      |      |    |      |      |      |       |      |      |  |       |      |      |  |              |      |      |  |    |
| 0,20  | 0,50   | 1,70   |                           | Crust                       |          |   |            |  |   |          |      |          |           |         |      |      |                       |       |      |      |      |    |      |      |      |       |      |      |  |       |      |      |  |              |      |      |  |    |
| 0,50  | 1,30   |  |                           | Crust                       |          |   |            |  |   |          |      |          |           |         |      |      |                       |       |      |      |      |    |      |      |      |       |      |      |  |       |      |      |  |              |      |      |  |    |
| 1,30  | 2,10   |  |                           | (sa)Le(_sa_)                |          |   |            |  |   |          |      |          |           |         |      |      |                       |       |      |      |      |    |      |      |      |       |      |      |  |       |      |      |  |              |      |      |  |    |
| 2,10  | 2,20   |  |                           | Sa                          |          |   |            |  |   |          |      |          |           |         |      |      |                       |       |      |      |      |    |      |      |      |       |      |      |  |       |      |      |  |              |      |      |  |    |
| <b>Anmärkning</b><br><br>   |  |  |                           |                             |          |   |            |  |   |          |      |          |           |         |      |      |                       |       |      |      |      |    |      |      |      |       |      |      |  |       |      |      |  |              |      |      |  |    |

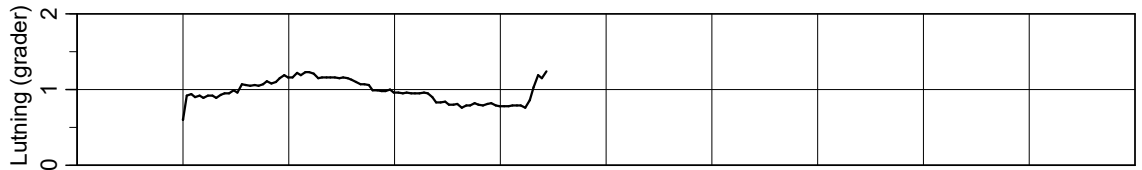
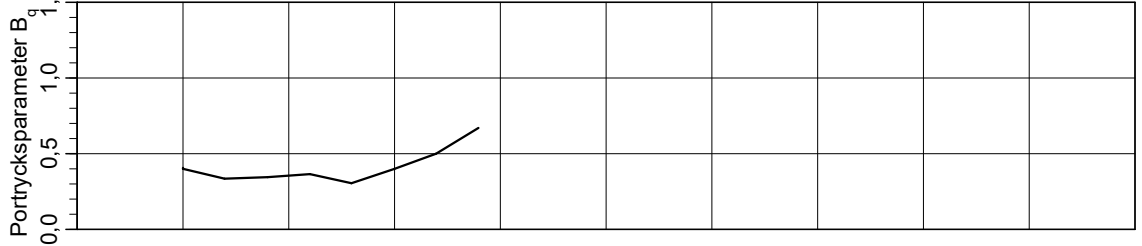
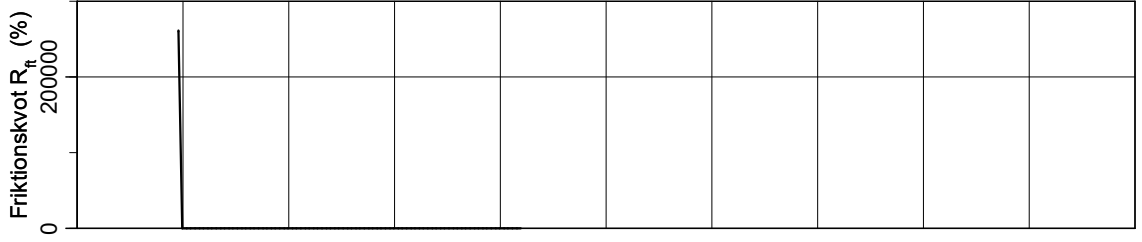
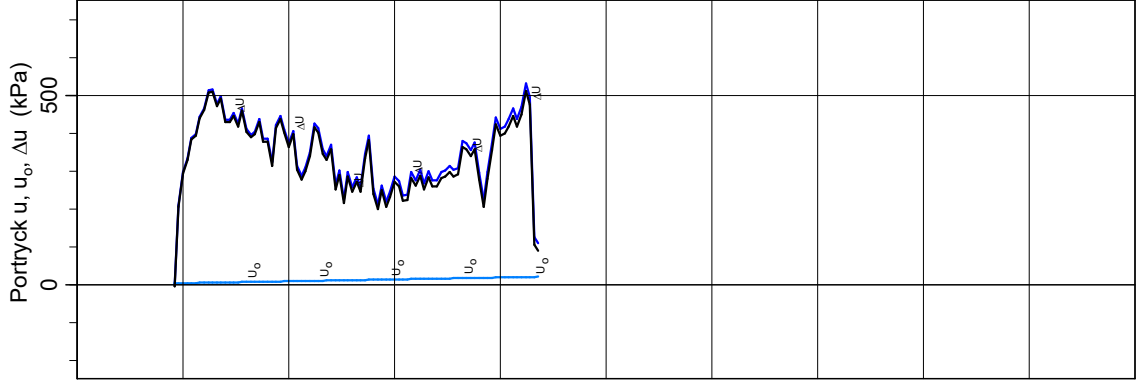
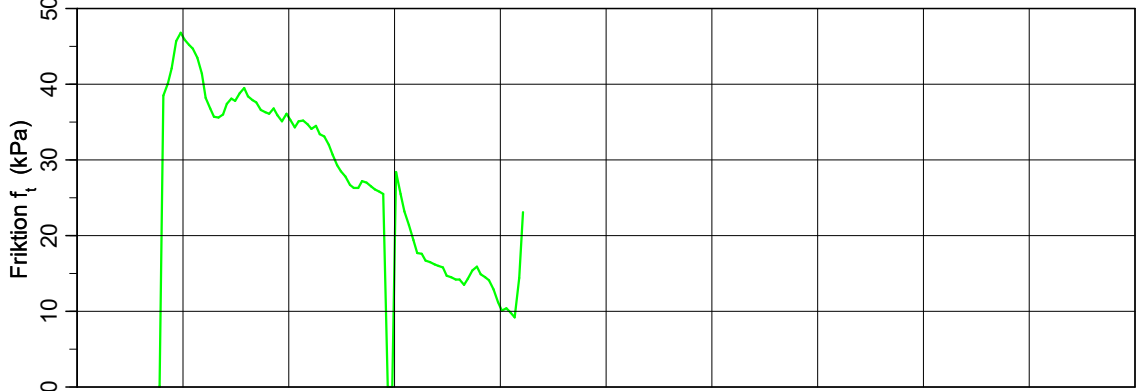
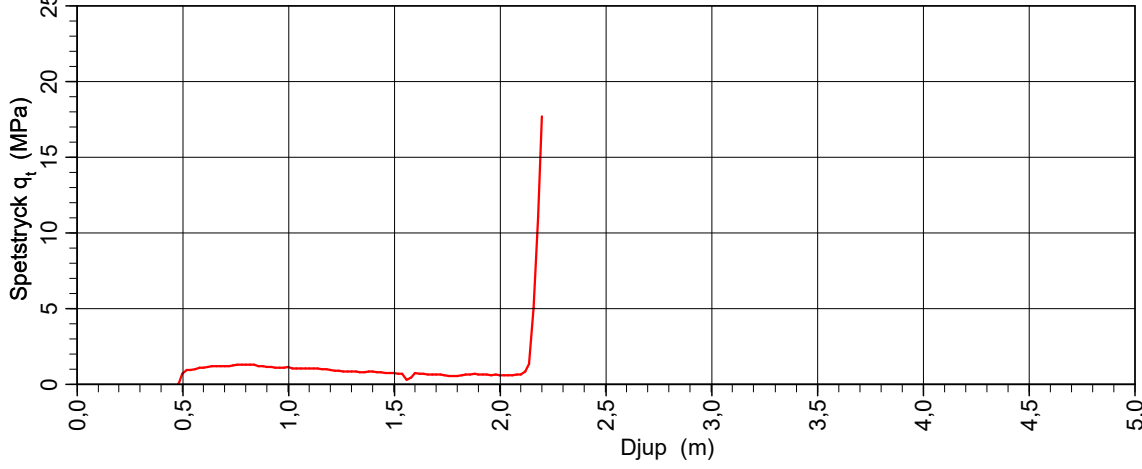
# CPT-sondering utförd enligt EN ISO 22476-1

Förborrningsdjup 0,50 m  
 Start djup 0,50 m  
 Stopp djup 2,22 m  
 Grundvattennivå 0,10 m

Referens my  
 Nivå vid referens 48,40 m  
 Förborrat material Mu, Let  
 Geometri Normal

Vätska i filter Olja  
 Borrpunktens koord.  
 Utrustning Geotech  
 Sond nr 4640

Projekt Halvorstorp 1:7 & 1:95  
 Projekt nr 30037910  
 Plats Halvorstorp, Trollhättan  
 Borrhål SW2209  
 Datum 2022 02 23



# CPT-sondering utvärderad enligt SGI Information 15 rev.2007

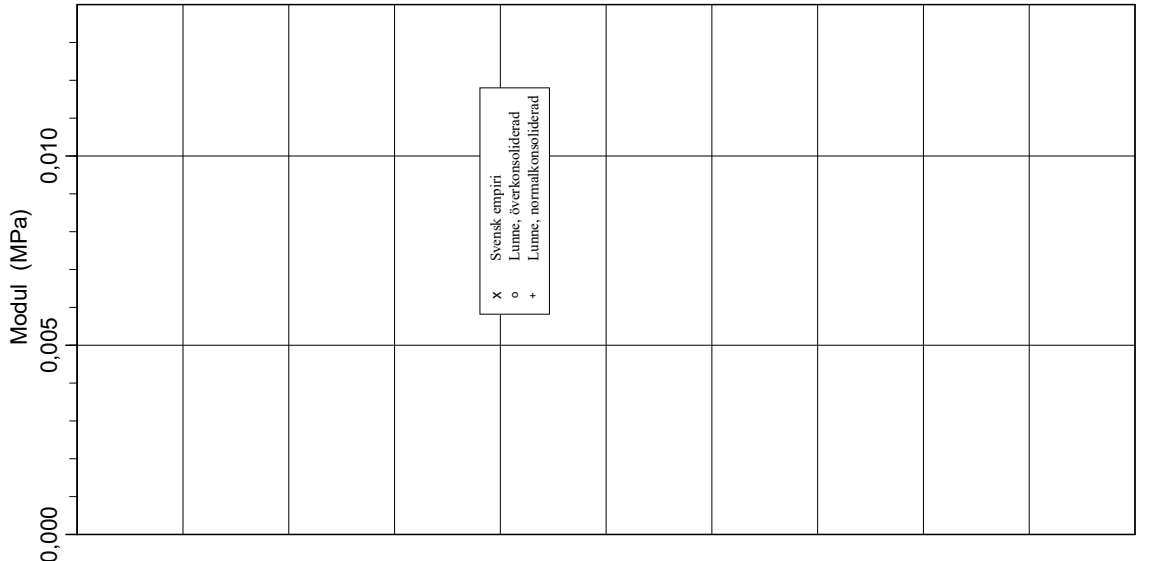
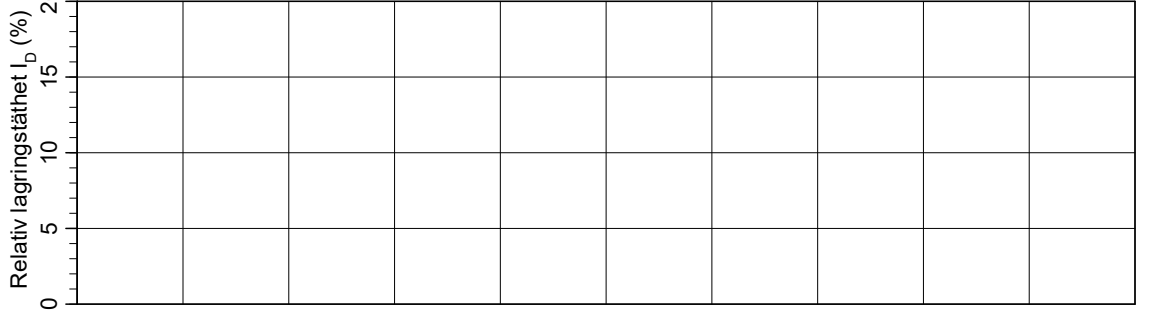
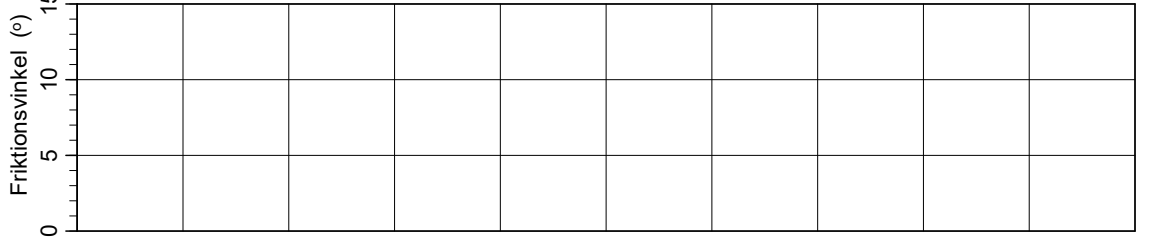
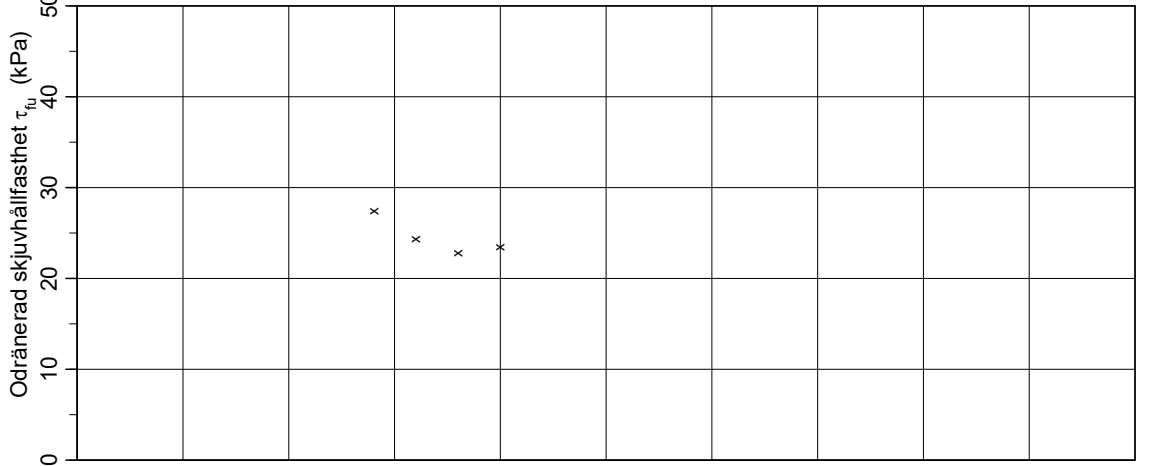
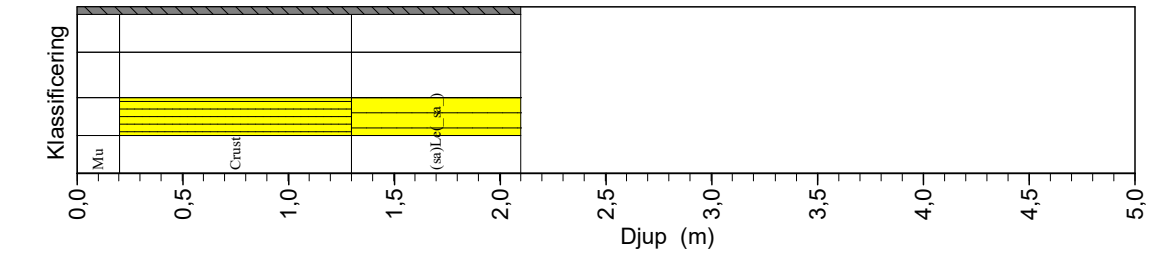
Referens my  
 Nivå vid referens 48,40 m  
 Grundvattenyta 0,10 m  
 Startdjup 0,50 m

Förborringsdjup 0,50 m  
 Förborrat material Mu, Let  
 Utrustning Geotech  
 Geometri Normal

Utvärderare  
 Datum för utvärdering

Anna de Bourgh  
 2022-03-23

Projekt Halvorstorp 1:7 & 1:95  
 Projekt nr 30037910  
 Plats Halvorstorp, Trollhättan  
 Borrhål SW2209  
 Datum 2022 02 23



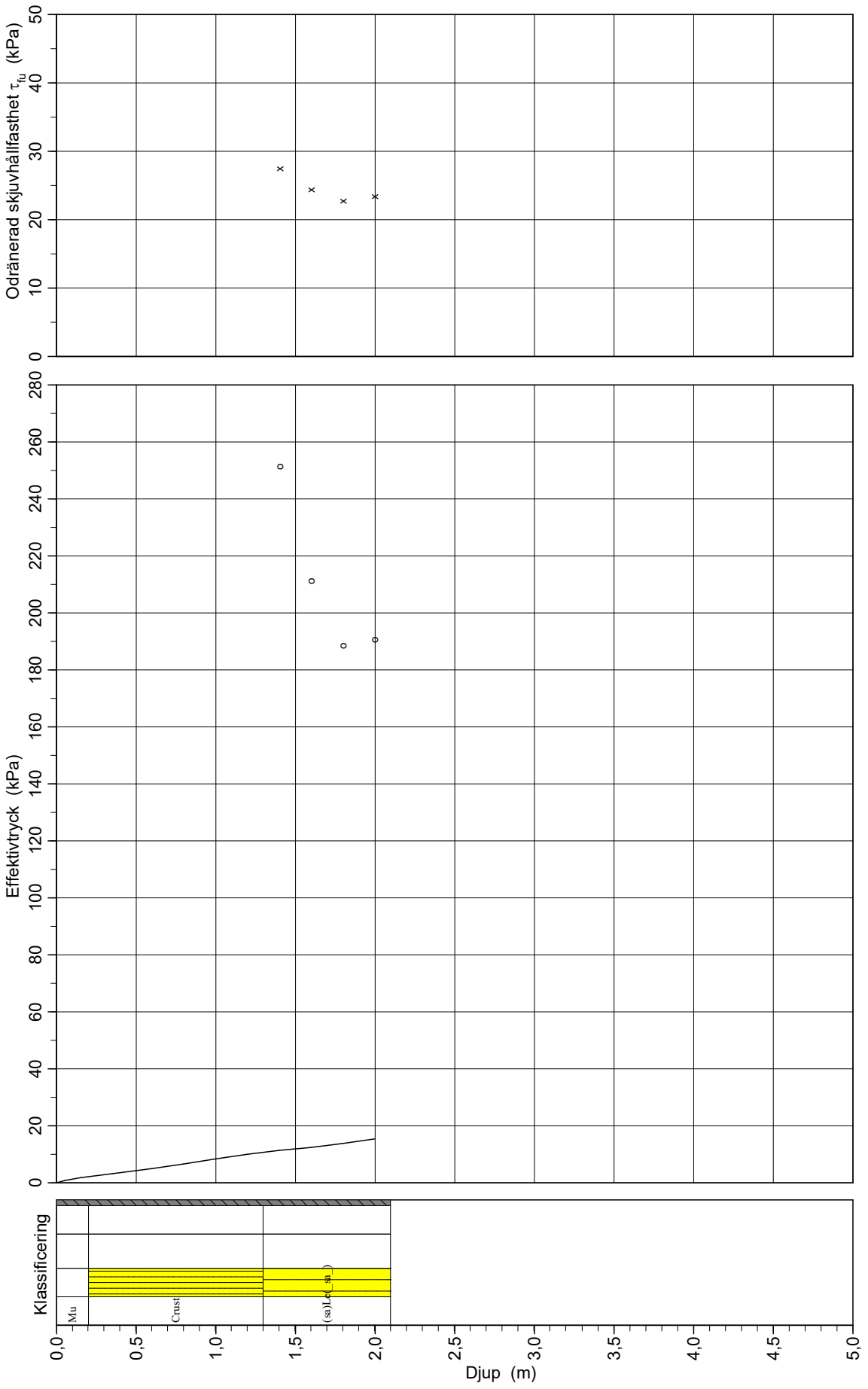
# CPT-sondering utvärderad enligt SGI Information 15 rev.2007

Referens my  
 Nivå vid referens 48,40 m  
 Grundvattenyta 0,10 m  
 Startdjup 0,50 m

Förborrningsdjup 0,50 m  
 Förborrat material Mu, Let  
 Utrustning Geotech  
 Geometri Normal

Utvärderare Anna de Bourgh  
 Datum för utvärdering 2022-03-23

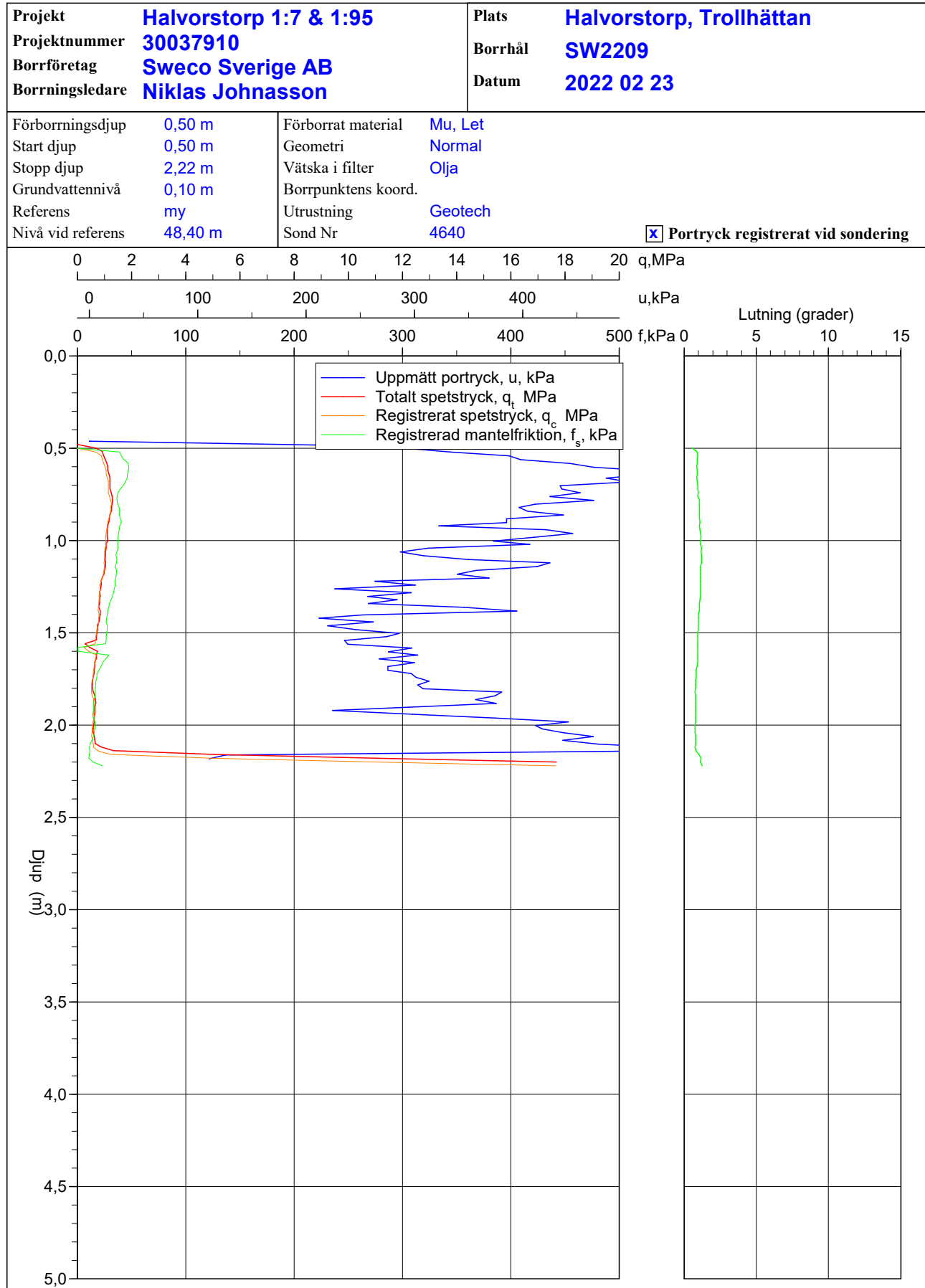
Projekt Halvorstorp 1:7 & 1:95  
 Projekt nr 30037910  
 Plats Halvorstorp, Trollhättan  
 Borrhål SW2209  
 Datum 2022 02 23



# C P T - sondering

| Projekt                            |      |                | Plats                      |       |                    |             |                      |                       |                    |       |            |          |                 |                 |
|------------------------------------|------|----------------|----------------------------|-------|--------------------|-------------|----------------------|-----------------------|--------------------|-------|------------|----------|-----------------|-----------------|
| Halvorstorp 1:7 & 1:95<br>30037910 |      |                | Halvorstorp, Trollhättan   |       |                    |             |                      |                       |                    |       |            |          |                 |                 |
|                                    |      |                | Borrhål                    |       |                    |             |                      |                       |                    |       |            |          |                 |                 |
|                                    |      |                | SW2209                     |       |                    |             |                      |                       |                    |       |            |          |                 |                 |
|                                    |      |                | Datum                      |       |                    |             |                      |                       |                    |       |            |          |                 |                 |
|                                    |      |                | 2022 02 23                 |       |                    |             |                      |                       |                    |       |            |          |                 |                 |
| Djup (m)                           |      | Klassificering | $\rho$<br>t/m <sup>3</sup> | $w_L$ | $\tau_{fi}$<br>kPa | $\phi$<br>° | $\sigma_{vo}$<br>kPa | $\sigma'_{vo}$<br>kPa | $\sigma'_c$<br>kPa | OCR   | $I_D$<br>% | E<br>MPa | $M_{OC}$<br>MPa | $M_{NC}$<br>MPa |
| Från                               | Till |                |                            |       |                    |             |                      |                       |                    |       |            |          |                 |                 |
| 0,00                               | 0,10 | Mu             | 1,60                       |       |                    |             | 0,8                  | 0,8                   |                    |       |            |          |                 |                 |
| 0,10                               | 0,20 | Mu             | 1,60                       |       |                    |             | 2,4                  | 1,9                   |                    |       |            |          |                 |                 |
| 0,20                               | 0,50 | Crust          | 1,70                       | 0,54  |                    |             | 5,6                  | 3,1                   |                    |       |            |          |                 |                 |
| 0,50                               | 0,70 | Crust          | 1,85                       | 0,54  |                    |             | 10,0                 | 5,0                   |                    |       |            |          |                 |                 |
| 0,70                               | 0,90 | Crust          | 1,90                       | 0,54  |                    |             | 13,6                 | 6,6                   |                    |       |            |          |                 |                 |
| 0,90                               | 1,10 | Crust          | 1,85                       | 0,54  |                    |             | 17,3                 | 8,3                   |                    |       |            |          |                 |                 |
| 1,10                               | 1,30 | Crust          | 1,85                       | 0,54  |                    |             | 20,9                 | 9,9                   |                    |       |            |          |                 |                 |
| 1,30                               | 1,50 | (sa)Le(_sa_)   | 1,60                       | 0,44  | 27,5               |             | 24,3                 | 11,3                  | 251,3              | 22,18 |            |          |                 |                 |
| 1,50                               | 1,70 | (sa)Le(_sa_)   | 1,60                       | 0,44  | 24,3               |             | 27,5                 | 12,5                  | 211,1              | 16,93 |            |          |                 |                 |
| 1,70                               | 1,90 | (sa)Le(_sa_)   | 1,85                       | 0,44  | 22,7               |             | 30,9                 | 13,9                  | 188,6              | 13,62 |            |          |                 |                 |
| 1,90                               | 2,10 | (sa)Le(_sa_)   | 1,85                       | 0,44  | 23,4               |             | 34,5                 | 15,5                  | 190,6              | 12,31 |            |          |                 |                 |

# CPT-sondering utförd enligt EN ISO 22476-1



|  |                            |
|--|----------------------------|
| UPPDRAG<br>Halvorstorp 1:7 & 1:95          | DOKUMENT<br>MUR-Geoteknik  |
| BILAGA<br>Laboratorieprotokoll - Geoteknik | UPPDRAGSNUMMER<br>30037910 |

## INNEHÅLL

- Protokoll – störd provtagning

# PROVFÖRTECKNING

LÖPNR

**36966**

**Halvorstorp**

Sweco Sverige AB

30037910

REGISTRERAT

2022-02-25

[geolab@sweco.se](mailto:geolab@sweco.se)

Kolprover sparas i kylrum minst 4 månader efter registrering. Utökad förvaring 4 månader kan fås mot avgift 1000kr/kolvlåda.

| BORRHÅL | INKOM      | PROVTAGAR | ANTAL | ANALYSOMFATTNI | ANMÄRKNING | REDOVIS                  | FAKTURER                 |
|---------|------------|-----------|-------|----------------|------------|--------------------------|--------------------------|
| SW2201  | 2022-03-01 | Skr       | 3     | Störd rutin    |            | <input type="checkbox"/> | <input type="checkbox"/> |
| SW2203  | 2022-03-01 | Skr       | 3     | Störd rutin    |            | <input type="checkbox"/> | <input type="checkbox"/> |
| SW2205  | 2022-03-01 | Skr       | 2     | Störd rutin    |            | <input type="checkbox"/> | <input type="checkbox"/> |
| SW2209  | 2022-03-01 | Skr       | 2     | Störd rutin    |            | <input type="checkbox"/> | <input type="checkbox"/> |
| SW2212  | 2022-03-01 | Skr       | 1     | Störd rutin    |            | <input type="checkbox"/> | <input type="checkbox"/> |
| SW2216  | 2022-03-01 | Skr       | 3     | Störd rutin    |            | <input type="checkbox"/> | <input type="checkbox"/> |

LÖPNR

**36966**

**Halvorstorp**

Sweco Sverige AB

30037910

REGISTRERAT

2022-02-25

Kolvprover sparas i kylrum minst 4 månader efter registrering. Utökad förvaring 4 månader kan fås mot avgift 1000kr/kolvläda.

BORRHÅL

INKOM

PROVTAGAR

ANTAL

ANALYSOMFATTNI

ANMÄRKNING

REDOVIS

FAKTURER

SUMMA

14

|   |  |                           |  |                              |  |
|---|--|---------------------------|--|------------------------------|--|
| <b>Projekt Halvorstorp 1:7 &amp; 1:95</b> |  |                           |  |                              |  |
| <b>Uppdragsnummer</b>                     | <b>Uppdragsgivare</b>                    | <b>Granskad</b>           |  | <b>CHAK</b> Christer Åkerman |  |
| 30037910                                  | Sweco Sverige AB, Göteborg               | <b>Löp-nr</b>             |  | 36966                        |  |
| <b>Provtagningsdatum</b>                  | <b>Provtagningsredskap / Analysmetod</b> | <b>Utskriftsdatum</b>     |  | 2022-03-18                   |  |
| 2022-02-21 - 2022-02-24                   | Skr                                      | <b>Undersökningsdatum</b> |  | 2022-03-16                   |  |
| <b>Lab.tekn.</b>                          | Per Östensson                            |                           |  |                              |  |

| Borrhål/<br>Sektion | Djup<br>[m]                   | Benämning<br>(okulär jordartsklassning SS-EN ISO 14688-1+2)<br>Jordartsförkortning<br>(enl. SGF 2016)  | Vatten<br>kvot<br>w [%] | Kon-<br>flyt-<br>gräns<br>w <sub>L</sub> [%] | Mtrl<br>typ/<br>tjälff.<br>klass <sup>1)</sup> |
|---------------------|-------------------------------|--|-------------------------|--|--|
| SW2201              | 0.1-1.6<br>1.6-2.2<br>2.2-3.0 | Gråbrun något rostfläckig arusia siltig SAND. arsiSa <sup>2)</sup> 32%<br>Gråbrun något arusia siltig SAND. (ar)siSa <sup>2)</sup> 35%<br>Grå arusia sandig siltig MORÄN. arsasiTi <sup>2)</sup> 29%<br>(Referensnivå = my)<br>(Vy = 0.10 m under my 2022-02-23) | 16<br>16                |  | 4A/3<br>4A/3<br>3B/2                           |
| SW2203              | 0.2-1.6<br>1.6-2.0<br>2.0-2.6 | Grå rostfläckig LERA torrskorpekaraktär, Cl(dc)<br>Grå sandig siltig LERA med enstaka gruskorn, sasiCl<br>Grå arusia sandig siltig MORÄN. arsasiTi <sup>2)</sup> 26%<br>(Referensnivå = my)<br>(Vy = 0.20 m under my 2022-02-24)                                 | 30<br>29                | 50<br>34                                     | 4B/3<br>5A/4<br>3B/2                           |
| SW2205              | 0.3-1.0<br>1.0-1.8            | Brungrå rostfläckig LERA torrskorpekaraktär, Cl(dc)<br>Gråbrun rostfläckig varvig LERA torrskorpekaraktär, vCl(dc)   | 39<br>33                | 58<br>47                                     | 4B/3<br>4B/3                                   |
| SW2209              | 0.2-1.3<br>1.3-2.1            | Grå rostfläckig TORRSKORPELERA, Cldc<br>Brungrå något sandig LERA med enstaka sandskikt, (sa)Cl (sa)<br>(Referensnivå = my)<br>(Vy = 0.10 m under my 2022-02-23)   | 38<br>42                | 54<br>44                                     | 4B/3<br>4B/3                                   |
| SW2212              | 0.1-1.0                       | Grå rostfläckig TORRSKORPELERA, Cldc   | 27                      | 45   | 4B/3   |
| SW2216              | 0.0-0.8<br>0.8-1.6<br>1.6-2.8 | Brun humushaltig sandig siltig LERA, husasiCl<br>Gråbrun grusig siltig SAND med lerskikt, arsiSa <u>cl</u> <sup>2)</sup> 25%<br>Gråbrun något arusia siltig SANDMORÄN. (ar)siSaTi <sup>2)</sup> 28%<br>(Referensnivå = my)<br>(Vy = 0.50 m under my 2022-02-22)  | 33                      | 35   | 5B/4<br>3B/2<br>3B/2                           |

1) Klassning enl. AMA Anläggning 20

2) Finjordshalt bestämd med våtsiktning.



P:\Uppdrag 2022\36966\{Skr 220318\_1.xlsx}

# RITNINGAR



UPPDRAG

Halvorstorp 1:7 & 1:95

DOKUMENT

MUR-Geoteknik

BILAGA

-

UPPDRAGSNUMMER

30037910





